



## AZƏRBAYCAN RESPUBLİKASININ PREZİDENTİ YANINDA ELMİN İNKİŞAFI FONDU

Azərbaycan Respublikasının Prezidenti yanında Elmin İnkışafı Fonduun  
“Elm-Təhsil İnteqrasiyası” məqsədli qrant müsabiqəsinin  
(EİF/MQM/Elm-Təhsil-1-2016-1(26)) qalibi olmuş  
layihənin yerinə yetirilməsi üzrə

### YEKUN ELMİ-TEXNİKİ HESABAT

Layihənin adı: İnterkalyasiya olunmuş laylı quruluşlu birləşmələr və polimerlər əsasında hazırlanmış yeni hibrid nanokompozitlərin sorbsiya və katalitik xassələri

Layihə rəhbərinin soyadı, adı və atasının adı: Əzizov Abdulsəyid Əbdülləhəmid oğlu

Qrantın məbləği: 29 500 manat

Layihənin nömrəsi: EİF/MQM/Elm-Təhsil-1-2016-1(26)-71/02/4-M-47

Müqavilənin imzalanma tarixi: 28 avqust 2020-ci il

Qrant layihəsinin yerinə yetirilmə müddəti: 6 ay

Layihənin icra müddəti (başlama və bitmə tarixi): 01 oktyabr 2020-ci il – 01 aprel 2021-ci il

Hesabatda aşağıdakı məsələlər işıqlandırılmalıdır:

1	<p>Layihənin həyata keçirilməsi üzrə yerinə yetirilmiş işlər, istifadə olunmuş üsul və yanaşmalar <b>Layihənin icra müddəti dövründə planlaşdırılmış tədqiqat işləri 2 mərhələdə yerinə yetirilmişdir</b></p> <p><b>Birinci mərhələ:</b> Oksidləşdici xlorfosforlaşma üsulu ilə interkalyasiya olunmuş qrafit (İOQ) və butadien kauçuku (BK) əsasında sintez edilmiş yeni hibrid nanokompozitin (HbK) kadmium (II) ionları və Akridin sarı boyaq maddəsi üçün sorbent kimi tətbiqi öyrənilmişdir.</p> <p><b>1. Sintez edilmiş yeni hibrid nanokompozitə ağır metal ionlarının sorbsiyasının tədqiqi</b> Aparılan tədqiqatlarda ağır metal ionlarının nümayəndəsi kimi kadmium ionları götürülmüş və hazırlanmış HbK-nin bu iona görə sorbsiya qabiliyyəti tədqiq edilmişdir. Bu məqsədlə ilk önce metal ionu məhlulları və bufer məhlullar hazırlanmışdır.</p> <p>Kadmium ionlarının ana məhlulunun (<math>C_0 = 10.00 \text{ mmol L}^{-1}</math>) hazırlanması üçün 2.2832 q miqdardında <math>\text{CdCl}_2 \cdot 2.5 \text{ H}_2\text{O}</math> duzu deionlaşdırılmış suda həll edilmişdir. Bu məhlulun müvafiq durulaşdırılması ilə lazım olan qatılıqlı məhlullar hazırlanmışdır. <math>\text{pH}=1-2</math>, xlorid turşusunun standart məhlulu (<math>0,1 \text{ N}</math> qatılıqlı) vasitəsilə, 3-11 isə <math>\text{CH}_3\text{COOH}</math> və <math>\text{NH}_4\text{ON}</math> məhlullarından (<math>0,1 \text{ N}</math> qatılıqlı) istifadə etməklə hazırlanmış ammonium-asetat bufer məhlulları ilə yaradılmışdır.</p>
---	---

## Sorbsiya proseslərinin tədqiqi

### Mühitin pH-nin təsiri

Uyğun təcrübələr pH-in 1-11 qiymətlərində  $24 \pm 2^{\circ}\text{C}$  temperaturda aparılmışdır. Bu məqsədə 0.050 q HbK 20 ml ( $0.5360 \text{ mmol L}^{-1}$ ) metal ion məhlulu ilə 8 saat müddətində qarışdırılmışdır. Sorbsiyadan sonra metal ionlarının qalıq qatılıqları induktiv əlaqəli plazma spektroskopiya metodу ilə PERKIN-ELMER firmasının OPTIMA 2100D cihazında (ICP-spectrometer) təyin olunmuşdur.

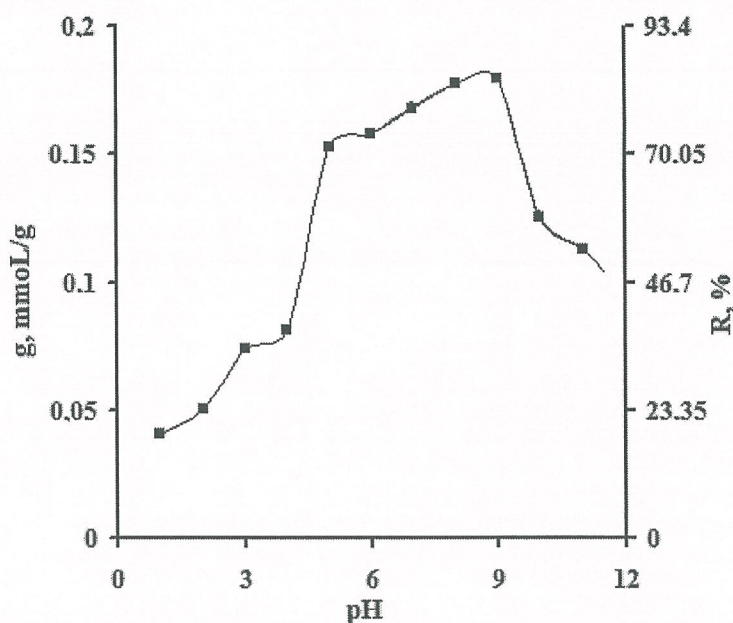
Prosesin qiymətləndirilməsi sorbsiya tutumu ( $q$ ) və sorbsiya dərəcəsinin ( $R, \%$ ) hesablanması ilə həyata keçirilmişdir:

$$q = \frac{(C_0 - C_{tar})V}{g} \quad (1)$$

$$R = \frac{C_0 - C_{tar}}{C_0} \cdot 100\% \quad (2)$$

burada,  $C_0$  və  $C_{tar}$ -uyğun olaraq sorbatın ilkin və tarazlıqliq qatılığı,  $\text{mmol L}^{-1}$  və ya  $\text{mg L}^{-1}$ ; g-HbK-nin kütlesi,  $q$ ; V-məhlulun həcmidir,  $V$ .

Nəticələr 1-ci şəkildə verilmişdir.



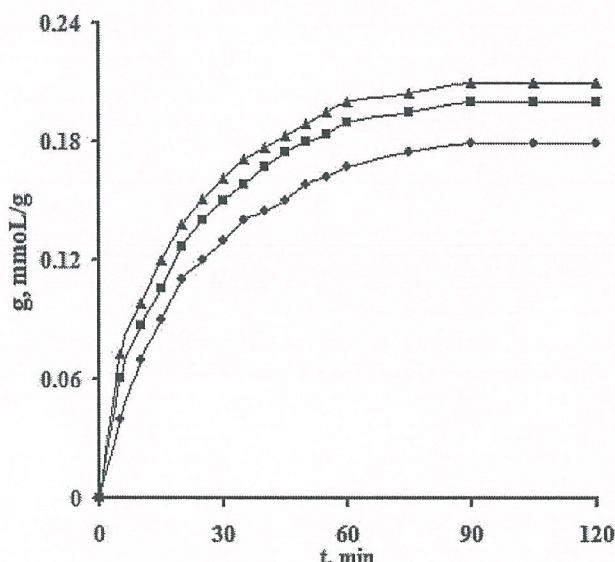
Şəkil 1. Cd (II) ionlarının sorbsiyasına mühitin pH-in təsiri

Göründüyü kimi pH-in 1-2 qiymətlərində sorbsiya dərəcəsi aşağıdır. Belə nəticə pΗ-in seçilmiş intervalında Cd (II) ionlarının akvakompleks ( $[\text{Cd}(\text{H}_2\text{O})_n]^{2+}$ ) şəklində olması və sorbsyanın əsasən  $-\text{P}=\text{O}$  qrupları hesabına baş verməsi ilə izah edilə bilər. Onu da qeyd etmək lazımdır ki, fosforil qrupları tərəfdən sorbsiya olunmuş metal ionları çox asanlıqla protonlar ilə əvəz edilə bilir. Digər tərəfdən pH-in 1-2 qiymətlərində HbK aşağı şışmə dərəcəsinə malik olduğundan prosesdə daha az sayda aktiv mərkəz iştirak edir. pH=3-7 aralığında məhlul turşuluğunu azalması ilə metal ionlarının adsorbsiya dərəcəsi tədricən artır. Analoji tendensiya zəif qələvi mühitdə də davam edir və sorbsiya dərəcəsi pH=9-da maksimuma çatır. Sonra nisbətən güclü qələvi mühitdə doğru sürüşmə ilə sorbsiya dərəcəsi kəskin azalır. Bu nəticələrin izahı üçün HbK və Cd (II) ionları məhlulunda baş verən aşağıdakı dəyişikləri nəzərə almaq lazımdır. Birinci,

mühitin pH-ın artması ilə HbK tədricən ionlaşır və müxtəlif quruluşlar da ola bilər:  $\sim P(O(OH)O^-)$  (pH=4-8 aralığında) və  $\sim P(O)(O^-)(O^-)$  (pH-da  $>8$ ) [1]. Ammonium-asetat bufer məhlulundan istifadə etdikdə (pH>3) Cd (II) ionlarının həm ammonium, həm də asetat komplekslərinin əmələ gəlməsi mümkün kündür. Buna görə pH>3 qiymətində məhluldakı metal ionları su, hidroksi və ammonium kompleksləri şəklində olacaqdır. Bu komplekslərin nisbəti, müxtəlif pH-da fərqli olur. Xüsusilə, maksimum sorbsiya dərəcəsinə uyğun pH qiymətlərində (pH=9) kadmium ionları əsasən aşağıdakı tip amonyak kompleksi şəklində mövcuddur:  $[Cd(NH_3)_4]^{2+}$ . Bu cür komplekslər tamamilə ionlaşmış HbK ( $\sim P(O)(O^-)(O^-)$ ) tərəfindən asanlıqla sorbsiya olunur. pH-ın 10÷11 intervalında məhlulda ammonium ionlarının qatılığı artır və nisbətən davamsız komplekslər əmələ gəlir:  $[Cd(NH_3)_5]^{2+}$  və  $[Cd(NH_3)_6]^{2+}$  [2]. Bu komplekslər pH-ın əvvəlki qiymətlərində məhlulda yaranmış komplekslərlə müqayisədə  $[Cd(NH_3)_4]^{2+}$  HbK tərəfindən daha yüksək sorbsiya olunur. Nəticədə HbK-nin sorbsiya qabiliyyətinin azalması müşahidə edilir.

### Sorbsiya müddəti və temperaturun prosesə təsiri

Sorbsiya müddəti və temperaturun təsirinin öyrənilməsi üçün tədqiqatlar pH-ın 9.0 qiymətində aparılmışdır: məhlulun həcmi 200 ml, metal ionlarının ilkin qatılığı  $0.5357 \text{ mmol L}^{-1}$ , HbK-nin kütlesi 0,5 q olmuşdur. Nəticələr 2-ci şəkildə verilmişdir.



**Şəkil 2.** Sorbsiya müddəti və temperaturun Cd (II) ionlarının sorbsiyasına təsiri

Şəkildən göründüyü kimi, proses çoxmərhələlidir. Əvvəlcə nisbətən yüksək sürətlə baş verir. Zaman keçdikcə tarazlığa yaxınlaşır. Metal ionlarının əksər hissəsi ilk 40 dəqiqə, qalan hissəsi isə sonrakı müddət ərzində sorbsiya olunur. Bu onu göstərir ki, Cd (II) ionlarının sorbsiyası heç bir çətinlik olmadan baş verir. Beləliklə, prosesin ilkin mərhələsində nisbətən çox sayıda aktiv mərkəz metal ionları üçün əlçatandır. Zaman keçdikcə daha çox sayıda aktiv mərkəzlər metal ionları ilə tutulur. Buna görə də sonrakı mərhələlərdə sorbsiyanın sürəti azalır və proses aktiv mərkəzlərin doyma nöqtəsinə çatır. Ümumiyyətlə, prosesin tam baş verməsi üçün 2 saat kifayət edir. Analoji təcrübələr müxtəlif temperaturlarda aparılmışdır. Müəyyən olunmuşdur ki, HbK-nin sorbsiya qabiliyyəti temperaturun  $25^\circ\text{C}$ -dən  $55^\circ\text{C}$ -yə qədər artması ilə artır. Bu nəticə, temperaturun artması ilə kadmium ionlarının daha mütəhərrik olması və sorbsiya üçün nisbətən daha çox aktiv mərkəzin əlçatانlığı ilə izah edilə bilər. Beləliklə, temperaturun artması prosesə müsbət təsir göstərir, yəni sorbsiya endotermik bir təbiətə malikdir.

Alınmış təcrubi nəticələr müxtəlif kinetik modellərlə işlənmişdir. Nəticələr 1-ci cədvəldə göstərilmişdir.

**Cədvəl 1.** Cd (II) ionlarının sorbsiyasının kinetik parametrləri

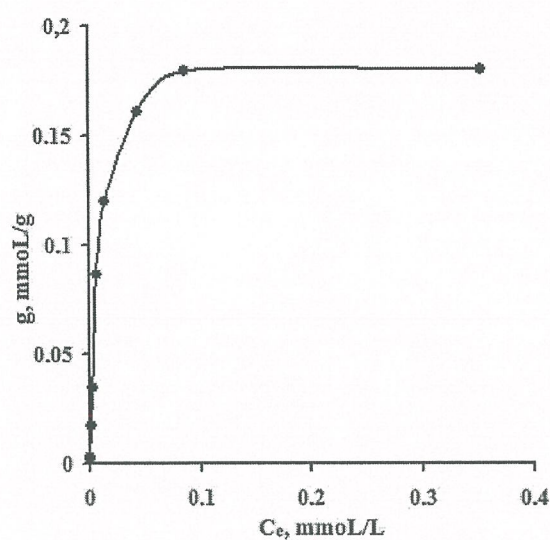
t, °C	psevdo-birinci			psevdo-ikinci			daxili diffuziya		
	$k_1$ , $(d\dot{e}q^{-1})$	$q_t$	$R^2$	$k_2$ , $g$ ( $mmol \cdot min^{-1}$ )	$q_t$	$R^2$	$k_i$ , $mmol$ ( $q$ $d\dot{e}q^{0.5})^{-1}$ )	C	$R^2$
25	0.0451	0.184	0.9816	0.2391	0.215	0.9973	0.0281	-0.0199	0.9922
40	0.0469	0.193	0.9913	0.2804	0.231	0.9978	0.0281	-0.0015	0.9971
55	0.0464	0.188	0.9900	0.3152	0.238	0.9985	0.0278	0.0114	0.9972

Əvvəlcə psevdo-birinci və psevdo-ikinci dərəcəli modellərin hesablanmış parametrləri müqayisə edilmişdir. Göründüyü kimi psevdo-ikinci dərəcəli modelin korrelyasiya əmsali psevdo-birinci dərəcəli modelə nisbətən yüksəkdir. Digər tərəfdən psevdo-birinci dərəcəli modelə görə hesablanmış qiymət ( $q_t$ ) uyğun parametrin eksperimental qiymətinə daha yaxındır. Ancaq bu parametrin temperaturdan asılı olaraq dəyişməsini nəzərə alsaq, sorbsiya prosesinin psevdo-ikinci dərəcəli modellə daha yaxşı təsvir olunması görülür. Beləliklə, sorbsiya əsasən kimyəvi proses hesabına baş verir. Yəni kadmium ionlarının ammonium kompleksləri ilə tamamilə ionlaşmış HbK arasında kimyəvi təbiətli qarşılıqlı təsir baş verir.

Sonrakı mərhələdə təcrübi qiymətlərin daxili diffuziya modeli ilə işlənməsi hesabına alınmış nəticələr interpretasiya olunmuşdur. Cədvəldən göründüyü daxili diffuziyanın parametri (C) əvvəlcə mənfi qiymətə malikdir. Bu onu göstərir ki, daxili diffuziya ilə yanaşı prosesə xarici diffuziya da təsir göstərir. Nisbətən yüksək temperaturda bu parametr müsbət qiymət alır ki, bu da çox sürətli adsorbsiya ilə əlaqələndirilir.

### Cd (II) ionlarının ilkin qatılığının təsiri

Metal ionunun ilkin qatılığının sorbsiya prosesinə təsirini öyrənmək üçün 0,05 q miqdarda quru HbK nümunələri müxtəlif kolbalara yerləşdirilmişdir. Bu kolbalara 20 mL həcmində müxtəlif qatılıqlı ( $0.0001\text{-}2.2400\text{ mmol L}^{-1}$ ) metal ionları məhlulları əlavə edilmişdir. Mühitin pH-ı 9.0 olmuşdur. Kolba, qarışdırıcıda  $24 \pm 2$  °C-də 8 saat ərzində saxlanılmışdır. Sorbsiyadan sonra metal ionlarının qalıq qatılıqları təyin olunmuşdur. Təcrübi nəticələr 3-cü şəkildə verilmişdir.



**Şəkil 3.** Cd (II) ionlarının sorbsiya izotermi (başlanğıc qatılıq: Cd (II)  $0.0001 \div 1.0000\text{ mmol L}^{-1}$ ; HbK-nın kütləsi  $2.5\text{ g L}^{-1}$ ; pH=9.0; sorbsiya müddəti 8 saat; temperatur  $24 \pm 2$  °C

Bu asılıq izotermlerin Gil's təsnifatına görə L2 tipli modelə uyğundur [3]. Təcrübi nəticələrin təsviri üçün Lenqmür [4], Freundlich [5], Temkin [6] və Dubinin-Radushkevich (D-R) [7] izoterm modellərindən istifadə edilmişdir. Modellərin müəyyən edilmiş parametrləri 2-ci cədvəldə verilmişdir.

**Cədvəl 2.** Cd(II) ionlarının HbK ilə sorbsiyasının müxtəlif izoterm modellərinə görə parametrləri

Model	İzoterm parametrləri		
Lenqmür	$K_L, \text{L g}^{-1}$	$q_{\max}, \text{mmol g}^{-1}$	$R^2$
	53.1550	0.1826	0.9975
Freynldix	$K_F$	$n$	$R^2$
	0.7396	1.4025	0.8488
Temkin	$A$	$B$	$R^2$
	13478.0	0.0204	0.9176
D-R	$q_s, \text{mmol g}^{-1}$	$\beta \times 10^8$	$E, \text{kJ mol}^{-1}$
	0.3043	1.00	7.07
			$R^2$
			0.9740

Cədvəldən göründüyü kimi, Lenqmür və D-R modelləri üçün korrelyasiya əmsalı ( $R^2$ ) müvafiq olaraq 0.9975 və 0.9740-a bərabərdir. Bu qiymətlər digər iki model üçün korrelyasiya əmsalından daha yüksəkdir: Freynldix (0.8488) və Temkin (0.9176). Alınan nəticələr sorbsiyanın Lenqmür və D-R izoterm modellərinə uyğun gəldiyini göstərir. Cd (II) ionlarının sorbsiyasının eksperimental nəticələri ilə Lenqmür izoterm modeli arasında yaxşı uyğunluq aşağıdakılardır göstərir: birincisi, energetik baxımdan HbK-nin bütün səthi homogendir, yəni aktiv mərkəzlər eyni sorbsiya aktivliyinə malikdir. İkincisi, Cd (II) ionları ilə aktiv mərkəzlər arasındaki qarşılıqlı əlaqə metal ionları arasındaki qarşılıqlı əlaqədən daha güclüdür. Buna görə də metal ionlarının sorbentdəki sorbsiyası monotəbəqənin əmələ gəlməsi ilə müşayiət olunur. Üçüncüüsü, sorbent tərəfindən Cd (II) ionlarının sorbsiyası ilk növbədə kimyəvi sorbsiya mexanizmi ilə baş verir. Nəhayət, sorbentin Cd (II) ionlarına görə maksimum sorbsiya qabiliyyəti 0.1826 mmol g<sup>-1</sup>-bərabərdir.

D-R izoterm modelindəki  $E$ -nin qiymətinin 7.07 kJ mol<sup>-1</sup> olması sorbsiyanın kimyəvi və ya ion mübadiləsi hesabına baş verdiyini göstərir [8].

## 2. Sintez edilmiş yeni hibrid nanokompozitlə boyaq maddələrinin sorbsiyasının tədqiqi

HbK-dan istifadə etməklə boyaq maddəsinin sorbsiyasına müxtəlif amillərin (boyaq maddəsinin ilkin qatılığı, temperaturun və HbK-nin miqdarı) təsiri öyrənilmiş, həmçinin sorbsiya prosesindən sonra müxtəlif desorbsiyaedici maddələrdən istifadə etməklə desorbsiya qanuna uyğunluqları əsasənda sorbsiyanın mümkün mexanizmi tədqiq edilmişdir.

### Sorbsiyaya boyaq maddəsinin ilkin qatılığının təsiri

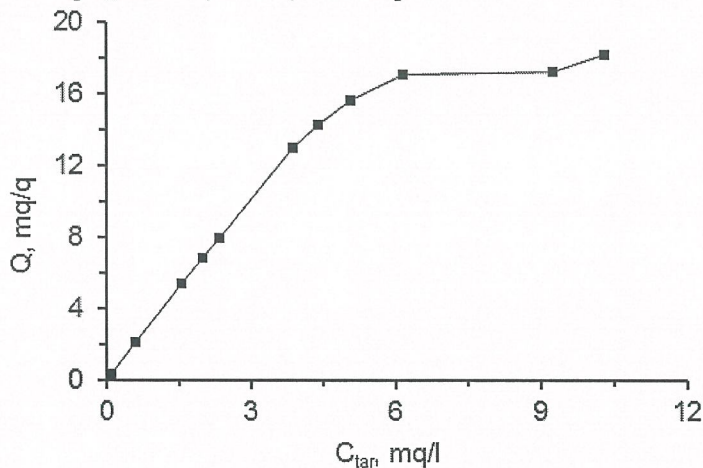
Sorbsiya prosesinə boyaq maddəsinin ilkin qatılığının ( $C_0$ ) təsirinin öyrəilməsi üçün qatılığı 0.49-28.49 mg/l intervalında dəyişən Akridin sarı boyaq maddəsi məhlulları hazırlanmışdır. 0.015 g HbK analitik tərəzidə ölçülümiş və pH-in 6.8 qiymətində 24 saat müddətində 0.015 l müxtəlif qatılıqlı Akridin sarı boyaq maddəsi məhlulları ilə sorbsiya prosesi aparılmışdır. Sorbsiya prosesindən sonra məhluldan nümunələr götürülmüş qatılığı SPECORD 210 Plus markalı ultrabənövşəyi-görünən spektrofotometrde 444 nm dalğa uzunluğunda tarazlıq qatılığı təyin edilmişdir. Sorbsiya tutumu və sorbsiya dərəcəsi (1) və (2) formulları ilə hesablanmışdır.

HbK ilə Akridin sarı boyaq maddəsinin sorbsiyasının boyaq maddəsinin ilkin qatılığından asılılığının öyrənilməsindən alınan tədqiqatın nəticələri aşağıdakı cədvəldə verilmişdir.

**Cədvəl 3.** HbK-nin sorbsiya tutumu və sorbsiya dərəcəsinin boyaq maddəsinin məhluldakı ilkin qatılığından asılılığı

$C_0$ , mq/l	0.49	2.70	6.92	8.80	10.31	16.86	18.69	20.72	23.18	26.47	28.49
$q$ , mq/q	0.37	2.10	5.38	6.80	7.96	12.99	14.28	15.63	17.02	17.22	18.17
R, %	78.2	77.8	77.8	77.3	77.2	77.0	76.4	75.4	73.4	65.1	63.8

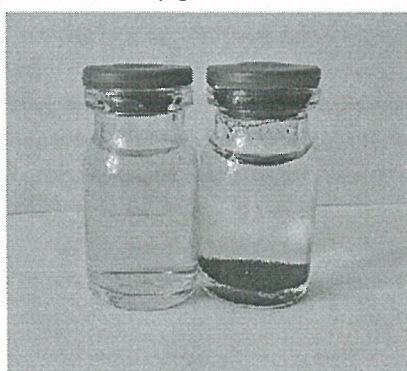
Alınmış nəticələr əsasında aşağıdakı qrafik qurulmuşdur.



**Şəkil 4.** HbK ilə Akridin sarı boyaq maddəsinin sorbsiyasına boyaq maddəsinin ilkin qatılığının təsiri

Qrafikdən və cədvəldən göründüyü kimi başlanğıc qatılıq 0.49 mq/l-dən 28.49 mq/l-ə artırılan zaman sorbsiya olunmuş boyaq maddəsinin miqdari 0.37 mq/q-dan 18.17 mq/q-a qədər artır, sorbsiya dərəcəsi isə 78.2%-dən 63.8%-ə qədər azalır. Sorbsiya dərəcəsinin azalmasına səbəb boyaq maddəsinin yüksək qatılıqlarında kompozitin səthindəki aktiv mərkəzlərin daha çox doymuşluğa malik olmasıdır.

Akridin sarı boyaq maddəsinin HbK ilə 24 saat müddətində sorbsiyasından sonra onunla çirklənmiş suyun təmizlənməsini vizual olaraq görmək mümkündür (Şəkil 5).

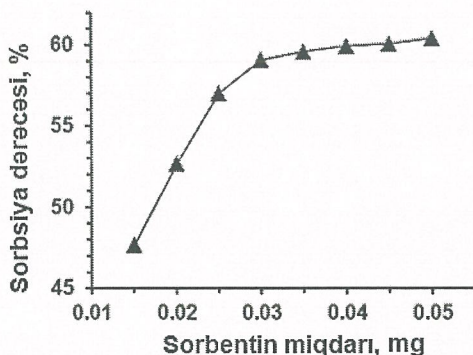


**Şəkil 5.** Akridin sarı boyaq maddəsinin sorbsiyadan əvvəl (sol) və sonra (sağ) foto görüntüləri

#### Sorbsiyaya kompozitin miqdarının təsiri

Sorbsiya prosesinə HbK-nin miqdarının təsirinin öyrənilməsi üçün 8 ədəd 50 ml-lik bükslərə 0.015, 0.020, 0.025, 0.030, 0.035, 0.040, 0.045 və 0.050 q kompozit yerləşdirilmiş və hər birinin üzərinə 0.015 l başlanğıc qatılığı 14.36 mq/l olan Akridin sarı boyaq maddəsi əlavə edilmişdir.

Otaq temperaturunda 24 saat müddətində statik şəraitdə sorbsiya aparıldıqdan sonra məhluldan nümunələr götürülmüş və boyaq maddəsinin tarazlıq qatılığı SPECORD 210 Plus markalı ultrabənövşəyi-görünən spektrofotometrdə 444 nm dalğa uzunluğunda təyin edilmişdir. Alınmış nəticələrə əsasən sorbsiya tutumu və sorbsiya dərəcəsi hesablanmış və aşağıdakı qrafik qurulmuşdur.

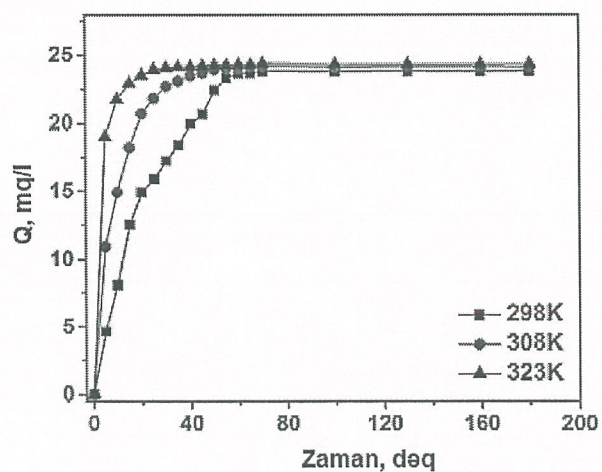


**Şəkil. 6 BK/İOQ-nin miqdarının sorbsiyaya təsiri**

Şəkildən göründüyü kimi, BK/İOQ-nin miqdarı 0.015 q-dan 0.03 q-a artan zaman sorbsiya dərəcəsi nəzərəçarpan dərəcədə artır. BK/İOQ-nin 0.03 q-dan 0.05 q-a artması zamanı sorbsiya dərəcəsinin daha az tempdə artması müşahidə olunmuşdur. Bunu onunla izah etmək olar ki, BK/İOQ-nin müəyyən miqdarından sonra maksimum adsorbsiya müşahidə edilir və hətta BK/İOQ-nin sonrakı əlavə edilməsi ilə də BK/İOQ ilə əlaqəli Akridin sarı molekullarının miqdarı sabit qalır.

#### **Sorbsiyaya temperaturun və zamanın təsiri**

HbK-nin sorbsiya qabiliyyətinin zamandan və temperaturdn asılılığını öyrənmək üçün müxtəlif zaman müddətlərində və temperaturlarda boyaq maddəsi məhlulunun qatılığının dəyişməsi təyin olunur. Bunun üçün 0.05 q kompozit nümunəsi üzərinə 0.05 l qatılığı 28.7 mg/l olan Akridin sarı boyaq maddəsi məhlulu əlavə olunur. Məhlul 298, 308, 323 K temperaturda 100 dövr/dəqiqə sürətlə qarışdırılır və hər 10 dəqiqədən bir 0.5 ml nümunə götürülür və nümunədə boyaq maddəsinin tarazlıq qatılığı SPECORD 210 Plus ultabənövşəyi-görünən spectrofotometrdə 444 nm dalğa uzunluğunda təyin edilir. Alınmış nəticələrə əsasən sorbsiya tutumu və sorbsiya dərəcəsi hesablanır və aşağıdakı qrafik qurulur.



**Şəkil 7. Akridin sarı boyaq maddəsinin kompozitlə sorbsiyasına temperaturun və sorbsiya müddətinin təsiri**

Şəkil 7-dən göründüyü kimi ilk 30 dəqiqə ərzində kompozitin səthindəki aktiv mərkəzlər sərbəst olduğu üçün proses sürətlə gedir [9]. 60 dəqiqə sonra tarazlıq hali yaranır. Bu nəticə bütün temperaturlar üçün xarakterikdir. Həmçinin şəkildən göründür ki, HbK-nin sorbsiya tutumu temperaturun artması ilə artır. Bu sorbsiyanın endotermik təbiətli olduğunu göstərir [10].

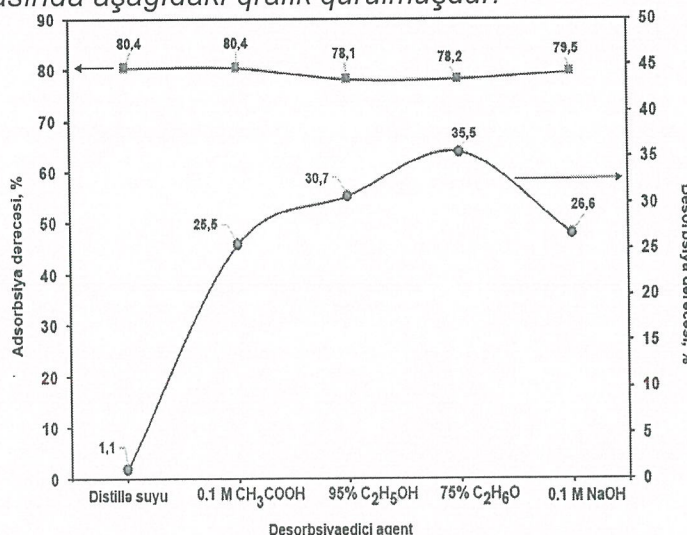
### Desorbsiya

Desorbsiya tədqiqatları boyaq maddəsinin adsorbsiya mexanizmini izah etməkdə böyük əhəmiyyətə malikdir [11]. Desorbsiya tədqiqatlarının aparılması üçün əvvəlcə 28.7 mq/L qatılıqlı 0.02 l Akrnidin sarı boyaq maddəsi və 0.015 q HbK ilə dörd sorbsiya təcrübəsi aparılmışdır. Sorbsiya təcrübələri kompozit və boyaq maddəsi qarışığının otaq temperaturunda (298 K) 100 dövr/dəq sürətlə qarışdırmaqla 30 dəqiqə ərzində aparılmışdır. 30 dəqiqədən sonra məhlullardan nümunələr götürülmüş və məhlulda boyaq maddəsinin tarazlıq qatılığı SPECORD 210 Plus ultabənövşəyi-görünən spectrofotometrde 444 nm dalğa uzunluğunda təyin edilmişdir. Bütün təcrübələr üçün adsorbsiya dərəcəsi (2) düsturundan istifadə edilərək hesablanmışdır. Sorbsiya təcrübəsindən sonra HbK maye fazadan ayrılmış və açıq havada qurudulmuşdur. Desorbsiya təcrübələri fərqli desorbsiyaedici agentlərdər istifadə etməklə həyta keçirilmişdir. Desorbsiyaedici agentər kimi müxtəlif qatılıqlı məhlullar götürülmüşdür: 0,1 M  $\text{CH}_3\text{COOH}$ , 0,1 M NaOH, 95%  $\text{C}_2\text{H}_5\text{OH}$  və 75%  $\text{C}_2\text{H}_6\text{O}$ . Desorbsiya agentləri maye və bərk fazların 1:100 (q:ml) nisbətində götürülmüşdür (q, kompozitin adsorbsiya sonrası quru kütləsi və ml, desorbsiyaedici məhlulun həcmi). Daha sonra kompozit/desorbsiyaedici məhlul qarışığı 30 dəqiqə müddətində 100 dövr/dəq sürətlə qarışdırılmışdır. 30 dəqiqədən sonra məhlullardan nümunələr götürülmüş və 444 nm dalğa uzunluğunda UV-vis spektrofotometrindən (SPECORD 210 Plus spektrofotometri) istifadə edərək nümunələrdə boyaq maddəsinin qatılığı təyin edilmişdir. Alınmış nəticələr əsasında desorbsiya faizi ( $D, \%$ ) aşağıdakı tənlikdən istifadə edərək hesablanmışdır [12]:

$$D = \frac{C_{des}}{C_0} \cdot 100\% \quad (3)$$

burada  $C_0$  boyaq maddəsinin ilkin qatılığı (mq/l),  $C_{des}$  isə desorbsiyadan sonra məhlulda boyaq maddəsinin qatılığıdır (mq/l).

Alınmış nəticələr əsasında aşağıdakı qrafik qurulmuşdur.



**Şəkil 8.** Akrnidin sarı boyaq maddəsinin kompozitdən desorbsiyası (şərait: sorbsiya/desorbsiya müddəti = 30 dəq,  $V_{desorbsiyaedici maddə} = 0.0005 \text{ ml}$ ,  $V_{boyaq maddəsi} = 0.015 \text{ ml}$ ,  $C_0 = 28.7 \text{ mq/l}$ ,  $m = 0.05 \text{ q}$ ,  $T = 298 \text{ K}$ ).

Şəki 8-dən göründüyü kimi, distillə suyu üçün digər desorbsiyaedici agentlərə nisbətən kiçik desorbsiya dərəcəsi (1.1%) müşahidə edilir. Distillə suyu ilə desorbsiya dərəcəsinin bu qiyməti Akridin sarı boyaq mddəsinin kiçik bir hissəsinin HbK ilə zəif rabiṭərlə əlaqələnməsini göstərir [13]. 0,1 M qatılıqlı  $\text{CH}_3\text{COOH}$  məhlulu ilə bir az yüksək desorbsiya dərəcəsi (25,5%) belə izah edilə bilər; turş mühitdə HbK protonlaşmış səthə malikdir və desorbsiya kompozitdəki müsbət yüksəlmiş səthlər və kation tipli boyaq maddəsi olan Akridin sarı boyaq maddəsi molekulları arasındaki elektrostatik qarşılıqlı təsir nəticəsində baş verir [14]. 0,1 M qatılıqlı NaOH məhlulunda (26,6%) desorbsiyanın baş verməsi adsorbsiyanın tək hərəkətverici qüvvəsinin ion mübadilə prosesi olmadığını göstərir [15]. Üzvi həllədicilər məhlullarında (95%-li  $\text{C}_2\text{H}_5\text{OH}$  və 75%-li  $\text{C}_2\text{H}_6\text{O}$ ) nisbətən yüksək desorbsiya dərəcəsi qeydə alınmışdır: uyğun olaraq 30,7 və 35,5%. Bu nəticə Akridin sarı boyaq maddəsinin desorbsiyaedici məhlullarda həll olmasının yüksək olması və ya üzvi həllədicilərlə Akridin sarı boyaq maddəsi arasındaki mümkün qarşılıqlı təsirlərlə izah edilə bilər [15].

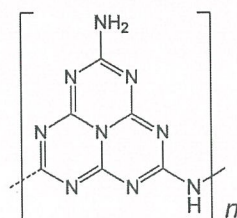
### **3. Tərkibində ağır metal ionları və boyaq maddələri olan suların yeni hibrid nanokompozitlə təmizlənməsinin tədqiqi**

Bu bölmə üzrə aparılmış tədqiqatlarda tərkibində həm Cd (II) ionları, həm də Akridin sarı boyaq maddəsi olan sulardan HbK-nin sorbsiya qabiliyyəti öyrənilmişdir. Tədqiqatlar pH-in 7 qiymətində aparılmışdır. Cd (II) ionlarının 2, 7, 12 və 17 mq/l olaraq götürülmüşdür. Akridin sarı boyaq maddəsinin ilkin qatılığı isə 5, 10, 15, 20 mq/l olmuşdur. Məhlulun ümumi həcmi 50 ml, kompozitin miqdarı isə 50 mq olmuşdur. Müəyyən edilmişdir ki, hər iki sorbatın maksimum qatılığında sorbentin sorbsiya tutumu uyğun olaraq 15 mq/q (Cd (II) ionları üçün) və 17,6 mq/q (boyaq maddəsi üçün) olmuşdur. Ayri-ayrılıqda götürüldükdə bu göstəricilər tək metal ionu və ya boyaq maddəsi üçün alınmış nəticələrdən aşağıdır. Ancaq mürəkkəb tərkibli məhlullardan (yəni tərkibində həm metal ionu, həm də boyaq maddəsi olan) sorbsiya zamanı kompozitin sorbsiya tutumunun cəm qiymətinin yüksək olduğu görünür.

**İkinci mərhələ:** Qrafit tipli polimer karbon nitrid ( $\text{g-C}_3\text{N}_4$ ) əsasında tərkibində metal olmayan katalizatorlar müxtəlif əsullarla sintez edilmiş, metal və qeyri-metallarla modifikasiya edilmiş, onların effektliyi fenilasetilenin stirola selektiv hidrogenləşməsi prosesində tədqiq edilmişdir.

Kimya sənayesində hazırda istifadə edilən katalitik proseslərin əksəriyyəti tərkibində qiymətli metallar olan heterogen katalizatorlar üzərində aparılır. Bu sistemlərin iştirakı ilə gedən proseslər yüksək enerji tutumu və çox miqdarda qiymətli metalların sərf edilməsile xarakterizə olunur və ekoloji problemlər yaradır. Bu baxımdan tərkibində metal olmayan yüksək katalitik effektliyə malik, ekoloji baxımdan təmiz katalizatorların hazırlanması, həmçinin tədqiqi nəzəri və praktiki əhəmiyyət kəsb edir.

Son illər tsiklik triazin molekulları əsasında formaləşən  $\text{g-C}_3\text{N}_4$  (Şəkil 9) tərkibində metal olmayan yeni effektiv foto-, electro- və kimyəvi katalizator kimi təklif olunur.



**Şəkil 9.** Qrafit tipli polimer karbon nitrid

Karbon nitridin nano-ölçülü quruluşa malik səthi -NH-, NH<sub>2</sub>- , N-C=N və C=C kimi funksional grupların qarşılıqlı təsiri nəticəsində əsası və π-donor-akseptor xassələri kəsb edir ki, bu da g-C<sub>3</sub>N<sub>4</sub>-ü bir sıra elektrofil və nukleofil mexanizmə malik reaksiyalarda katalizator kimi istifadə etməyə imkan verir. g-C<sub>3</sub>N<sub>4</sub> bir sıra azot tərkibli birləşmələrdən yüksək selektivliklə sintez edilə bilən, yüksək termiki (>550°C) və kimyəvi stabilliyə malik yarımkəcərici xassəli (2.70 eV) və qrafit kimi təbəqələri 2D quruluşa malik materialdır. Beləliklə, qeyd olunan mühüm fiziki-kimyəvi, elektron xassələri, ekoloji cəhətdən zərərsizliyi g-C<sub>3</sub>N<sub>4</sub>-ün foto-, elektro- və heterogen katalizdə effektiv üzvü katalizator kimi istifadəsinə imkan yaradır. Bu gün g-C<sub>3</sub>N<sub>4</sub> bir çox araşdırma mərkəzlərində oksidləşmə, alkilləşdirmə, suyun parçalanması, CO<sub>2</sub>-un aktivləşdirilməsi və s. proseslərdə katalizator kimi intensiv tədqiq edilir. Qrafit tipli g-C<sub>3</sub>N<sub>4</sub> tərkibində metal omayan heterogen katalitik sistemlərin yaradılması üçün unikal bir platformadır [16-18].

Bununla belə, katalizdə onun tətbiqi kiçik səth sahəsi, işıq şuası nəticəsində yaranan elektron - "çuxur" cütlərinin yüksək rekombinasiya sürəti və olduqca aşağı keçiriciliyi ilə məhdudlaşır. Polimer g-C<sub>3</sub>N<sub>4</sub> quruluşunu asanlıqla modifikasiya etmək mümkündür [19]. Mezoməsaməli quruluşları yaratmaqla, metal və qeyri-metallarla, müvafiq enerji səviyyələrinə malik yarımkəcəcicilərlə kombinə etməklə polimer g-C<sub>3</sub>N<sub>4</sub>-ün optiki və elektrik xassələrini yaxşılaşdırmaq mümkündür. Bu da onun daha geniş migyasda foto-, elektro- və kimyəvi katalizdə, elektronikada, optikada və bir sıra başqa praktiki əhəmiyyətli sahələrdə istifadəsinə imkan yaradır. Unikal katalitik aktivliyi ilə yanaşı karbon nitridlər həm də effektiv daşıyıcı kimi də istifadə oluna bilər. Effektiv daşıyıcı potensialını inkişaf etdirmək məqsədilə karbon nitridlərin bir sıra katalitik aktiv metal və metal oksidləri ilə kompozitlərinin sintezi və tədqiqi aparılmışdır [20,21].

### **1. Karbon nitridin (g-C<sub>3</sub>N<sub>4</sub>) müxtəlif azot-tərkibli maddələrdən sintezi**

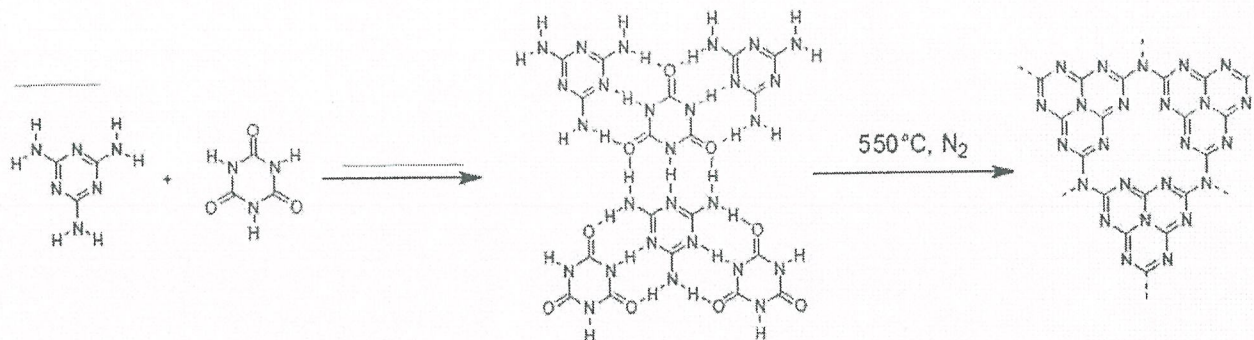
g-C<sub>3</sub>N<sub>4</sub>-ü sianamidin, disianamidin, melaminin, karbamidin və s. termiki özü özü ilə polikondensasiyası yolu ilə sintez etmək olar. Sintez müxtəlif temperaturlarda aparılır. Cədvəl 4-də melaminin 400-600°C -də pirolizinin nəticələri verilmişdir.

**Cədvəl 4.** Sintez olunmuş karbon nitrid nümunələri

g-C <sub>3</sub> N <sub>4</sub> nümunələr	İlkin maddə	Sintez şəraiti	S <sub>BET</sub> , m <sup>2</sup> g <sup>-1</sup>
I	Melamin	200 → 300 → 400 → 450°C	5.8
II		200 → 300 → 400 → 500°C	5.3
III		200 → 300 → 450 → 550°C	4.1
IV		200 → 300 → 500 → 600°C	4.0

İlkin maddələrin bir başa termolizi zamanı səth sahəsi kiçik həcmli və qadağan zonasının bir qədər genişliyi ilə fərqlənən quruluşlu g-C<sub>3</sub>N<sub>4</sub> formalaşır. Katalitik effektliyi artırmaq məqsədilə hesabat dövründə müxtəlif supra-molekulyar komplekslər əsasında yüksək səthə malik mezo-məsaməli karbon nitridlərin (mpg-C<sub>3</sub>N<sub>4</sub>) sintez üsulu işlənilib hazırlanmışdır.

Müxtəlif tərkibli ilkin maddələr bir-birilə müxtəlif - hidrogen, ion tipli - əlaqələri vasitəsilə spontan birləşərək stabil quruluşlu supra-molekulyar kompleks formalaşdırır (Sxem 1). İlkin maddələrin çəki nisbətini, istifadə olunan həllədicinin təbiətini və prosesin şəraitini dəyişməklə müxtəlif molekulyar tərkibli komplekslər sintez etmək mümkündür [22]. Hesabat dövründə melamin /cyanuric acid (M/CA) (Sxem 1), melamin/cyanuric acid/karbamid (M/CA/U), melamin/cyanuric acid/tiokarbamid (M/ CA/TU) əsasında supramolekulyar komplekslər sintez edilmişdir.



**Sxem 1.** Mezoməsaməli karbon nitridin ( $\text{mpg-C}_3\text{N}_4$ ) sintezi

Sintez olunmuş müxtəlif tərkibli molekulyar komplekslər  $500 - 550^\circ\text{C}$ -də inert qaz (azot, argon) axınında 4,5-5 saat müddətində termoliz edilməklə yüksək səthə malik  $\text{mpg-C}_3\text{N}_4$  nümunələri hazırlanmışdır (Cədvəl 5).  $\text{mpg-C}_3\text{N}_4$  nümunələrin sintezi üçün ilk dəfə olaraq templat kimi  $(\text{NH}_4)\text{X}$  ( $\text{X} = \text{Cl}, \text{Br}$ ) istifadə olunmuşdur. Yüksək səthə malik  $\text{mpg-C}_3\text{N}_4$  sintezi üçün təklif olunan üsul öz sadəliyi və effektivliyi ilə fərqlənir. Belə ki, hazırlanmış molekulyar komplekslərin termolizi şəraitində  $(\text{NH}_4)\text{X}$ -in parçalanmasından əmələ gələn  $\text{NH}_3$  və  $\text{HX}$  qaz qabarıqları templat effekti yaradır və nəticədə ultra-nazik təbəqəli quruluşa malik mezo-məsaməli karbon nitrid formalasılır.

**Cədvəl 5.** Supramolekulyar komplekslərin sintez şəraiti və termolizindən alınan  $\text{mpg-C}_3\text{N}_4$ -lərin səthi ölçüləri

$\text{mpg-C}_3\text{N}_4$ nümunələr	Supramolekullar	Supramolekullar sintez şəraiti	$S_{\text{BET}}, \text{m}^2\text{g}^{-1}$
V	M/CA	$\text{M/CA} = 1 : 1$ , həllədici-dimetilsulfoksid	60
VI	$\text{M/CA} + \text{NH}_4\text{Cl}$		48,5
VII	$\text{M/CA/U} + \text{NH}_4\text{Br}$	$\text{M/CA}=1:1, \text{M:U}=1:1 \div 3:1$ , etanol, $60^\circ\text{C}$	28.5
VIII	$\text{M/CA/TU} + \text{NH}_4\text{Cl}$	$\text{M/CA}=1:1, \text{M:TU}=1:1 \div 3:1$ , etanol, $60^\circ\text{C}$	30.7

Cədvəl 5-dən göründüyü kimi,  $\text{mpg-C}_3\text{N}_4$  həcmi  $\text{g-C}_3\text{N}_4$  mügayisədə BET-ə görə xüsusi səthinin çox böyük ( $60 \text{ m}^2\text{g}^{-1}$ ) olması ilə fərqlənir.

Mezoməsaməli matrislərin faza quruluşu bütün hallarda qrafitə bənzər strukturların meydana gəlməsini təsdiqləyən X-ray diffraktometriya spektrleri, IQ Furye spektrleri əsasında təhlil edilmişdir.

$\text{g-C}_3\text{N}_4$  sintezi üçün geniş istifadə olunan melamin sənayedə karbamid əsasında istehsal olunur. Ölkəmizdə karbamidin sənaye miqyasında istehsalını nəzərə alaraq, hesabat dövründə  $\text{g-C}_3\text{N}_4$ -ün birbaşa karbamid əsasında sintezinin mümkünliyi araşdırılmışdır. Reaksiya normal təzyiqdə  $490-550^\circ\text{C}$  temperaturda inert qaz (azot, argon) axınında 4,5-5 saat müddətində termoliz edilməklə aparılmışdır. Karbamid molekulları bir-birilə müxtəlif - hidrogen, ion tipli - əlaqələri vasitəsilə birləşməsi nəticəsində aralıq biuret, sianur turşusu, ammelid-ammelin və melamin birləşmələri formalasır və melamin daha sonra polikondensasiyaya uğrayaraq polimer karbon nitrid əmələ gətirir. Aralıq birləşmə kimi əmələ gələn sianur turşusu templat rolunu oynayır və nəticədə mezo-morfologiyalı karbon nitrid sintez olunur. Prosesin temperatur şəraitini dəyişməklə sintez olunan  $\text{g-C}_3\text{N}_4$ -in morfolojiyasını müəyyən qədər dəyişmək mümkün

olur. Hesabat dövründə karbamidin disiandiamid, sianur turşusu və melaminlə ikili və üçlü so-polikondensasiyası da tədqiq edilmişdir. Bu reaksiyalar da karbamidin self-polikondensasiyası kimi eyni qanunauyğunluqlarla baş verir. Cədvəl 6-də sintez olunan polimer karbon nitridlərin sintez şəraiti göstərilmişdir.

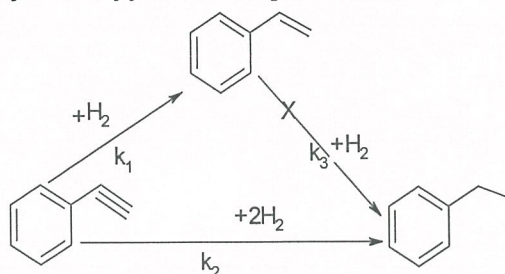
**Cədvəl 6.** Karbamid əsasında sintez olunan polimer karbon nitridlərin sintez şəraiti

$g\text{-C}_3\text{N}_4$ nümunələr	İlkin maddə	Sintez şəraiti
IX	Karbamid	$20 \rightarrow 200 \rightarrow 300 \rightarrow 400 \rightarrow 490^\circ\text{C}$
X		$20 \rightarrow 200 \rightarrow 300 \rightarrow 400 \rightarrow 500^\circ\text{C}$
XI		$20 \rightarrow 200 \rightarrow 300 \rightarrow 450 \rightarrow 520^\circ\text{C}$
XII	Karbamid/Melamin	$20 \rightarrow 200 \rightarrow 300 \rightarrow 400 \rightarrow 500^\circ\text{C}$
XIII		$20 \rightarrow 200 \rightarrow 300 \rightarrow 400 \rightarrow 550^\circ\text{C}$
XIV	Karbamid/Cyanuric acid	$20 \rightarrow 200 \rightarrow 300 \rightarrow 400 \rightarrow 500^\circ\text{C}$
XV	Karbamid/Melamin/Cyanuric acid	$20 \rightarrow 200 \rightarrow 300 \rightarrow 400 \rightarrow 500^\circ\text{C}$
XVI		$20 \rightarrow 200 \rightarrow 300 \rightarrow 400 \rightarrow 550^\circ\text{C}$

$g\text{-C}_3\text{N}_4$  əsasında tərkibində metal olmayan katalizatorlar sintez edilmiş və onların effektivliyi fenilasetilenin stirola selektiv hidrogenləşməsi prosesində tədqiq edilmişdir. İlk dəfə olaraq nano-quruluşlu karbon nitridin metal iştirakı olmadan hidrogen molekulunu aktivləşdirmək xassəsi müəyyən edilmiş və onun üzərində fenilasetilenin stirola selektiv hidrogenləşməsi üsulu işlənilib hazırlanmışdır. Polimer karbon nitridin üzərində gedən prosesdə metal tərkibli heterogen sistemlərdən fərqli olaraq koks əmələ gəlmir və bu səbəbdən  $g\text{-C}_3\text{N}_4$  uzun müddət stabil aktivlik və selektivlik nümayiş etdirir.

## 2. Fenilasetilenin stirola selektiv hidrogenləşməsi

Tərkibində ikiqat və multi karbon - karbon rabiṭələri olan üzvi birləşmələrin (olefinlər, acetilen və onun törəmələri, aromatik birləşmələr) hidrogenləşməsi kimya sənayesində geniş istifadə edilən mühüm proseslərdir. Belə praktiki əhəmiyyətli proseslərdən biri fenilasetilenin stirola selektiv hidrogenləşməsidir. Stirol giymətli monomerdir və bir neçə növ sintetik kauçukun və plastik kütlələrin istehsalında geniş istifadə olunur. Sənayedə stirolu əsasən etilbenzolun katalitik dehidrogenləşməsi yolu ilə sintez edirlər. Bu zaman müəyyən qədər fenilasetilen də əmələ gəlir. Tərkibində fenilasetilen qaldıqda o stirolu polimerləşdirmək üçün istifadə olunan katalizatorun aktivliyini zəiflədir və polistirolon keyfiyyətinə mənfi təsir göstərir. Bu səbəbdən polistirol istehsalı üçün istifadə olunan monomerin tərkibində qalan fenilasetileni etilbenzola qədər hidrogenləşdirirlər. Yalnız Lindlar katalizatoru kimi tanınan,  $\text{Pd}/\text{CaCO}_3\cdot(\text{RCOO})_2\text{Pb}$  sistemi reaksiya mühitində az miqdarda xinolin olduqda fenilasetileni stirola selektiv hidrogenləşdirə bilir [23]. İlk dəfə olaraq fenilasetilenin tərkibində metal olmayan  $g\text{-C}_3\text{N}_4$  üzərində stirola selektiv hidrogenləşməsinin mümkünluğu müəyyən edilmişdir (Sxem 2).



**Sxem 2.** Fenilasetilenin karbon nitrid üzərində parsial hidrogenləşməsi

Sintez olunmuş polimer karbon nitrid nümunələrin fenilasetilenin stirola selektiv hidrogenləşməsi reaksiyasında aktivliyi sınadandan keçirilmişdir.

Tərcübələrdə fenilasetilenin 30%-li heptan və tsikloheksan məhlulları istifadə edilmişdir. Fenilasetilenin parsial hidrogenləşməsi reaksiyası  $150\text{--}250\ ^\circ\text{C}$  temperatur intervalında, fenilasetilenin 0.6-1.0 saat<sup>1</sup> intervalda həcmi sürətində və  $\text{C}_8\text{H}_6:\text{H}_2=1:(1.2\text{--}3.0)$  mol nisbətində aparılmışdır. Reaksiya U şəkilli axar reaktorda fasılısız rejimdə aparılmışdır. Reaktora yerləşdirilmiş katalizatorun həcmi  $1\ \text{sm}^3$  təşkil etmişdir. Reaktor qızma temperaturu tənzimlənən hava elektrik hamamında yerləşdirilmişdir. Sobanın temperaturu termocütlə ölçülüş və elektron tənzimləyicisinin köməyi ilə qeyd olunmuşdur. Altıyollu kranlar nümunəgötürücü ilgək və birləşdirici kapilyarlar xammalın buxar halında qalmasını təmin edən və reaksiya məhsullarının kondensasiya olunmasının qarşısını alan termostatik şkafa yerləşdirilmişdir. Şkafda temperatur rele ilə birləşmiş kontakt termometrinin köməyi ilə sabit saxlanmış və tənzimlənmişdir. Xammalın verilməsi avtomatik rejimdə işləyən mikronasosun köməyi ilə həyata keçirilmişdir. Reaktora verilən fenilasetilenin heptan və ya tsikloheksan məhlulu və hidrogen termostatik şkafda qaz halında qarışaraq içərisində katalizator təbəqəsi olan reaktora daxil edilir. Reaksiya məhsullarının soyudulması və yiğilması üçün tutucudan istifadə olunur. Reagentlərin və reaksiya məhsullarının analizi xromatoqrafiya metodu vasitəsilə kütlə detektorlu Agilent 5975-də uzunluğu 30 m olan HP 5-MS kolonkasında aparılmışdır.

Cədvəl 7-də melamindən müxtəlif temperaturlarda sintez olunmuş həcmi  $\text{g-C}_3\text{N}_4$  və mezoporlu  $\text{mpg-C}_3\text{N}_4$  nümunələrin üzərində  $220\ ^\circ\text{C}$ -də fenilasetilenin hidrogenləşməsinin nəticələri verilmişdir. Fenilasetilenə görə həcmi sürət fenilasetilenin miqdarnının (ml/saat) katalizatorun həcmində olan nisbəti ilə hesablanmışdır. Nəticələrdən göründüyü kimi həcmi  $\text{g-C}_3\text{N}_4$  və mezoporlu  $\text{mg-C}_3\text{N}_4$  nümunələr üzərində fenilasetilenin parsial hidrogenləşməsi baş verir və yüksək selektivliklə (99.5-99.7%) stirol alınır, yalnız çox cüzi miqdarda etilbenzol əmələ gəlir. Nəticələrin müqayisəli analizi göstərir ki, böyük səthə malik olan  $\text{mg-C}_3\text{N}_4$  fenilasetilenin parsial hidrogenləşməsində həcmi  $\text{g-C}_3\text{N}_4$ -ə nisbətən daha yüksək aktivlik nümayiş etdirir. Müxtəlif temperaturlarda sintez olunmuş həcmi  $\text{g-C}_3\text{N}_4$  sırasında eyni identik şəraitdə  $450\ ^\circ\text{C}$ -də hazırlanmış nümunə daha yüksək temperaturlarda sintez olunmuş nümunələrlə müqyisədə daha yüksək aktivlik nümayiş etdirir.

#### Cədvəl 7. Fenilasetilenin sintez olunmuş karbon nitridlər üzərində hidrogenləşməsi

$\text{g-C}_3\text{N}_4$ nümunələri	$\text{FA:C}_x\text{H}_y\text{H}_2$ , mol nisbəti	$T, ^\circ\text{C}$	$V, \text{saat}^{-1}$	$t, \text{san}$	$K_{\text{FA}}, \%$	$S_{\text{ST}}, \%$	$S_{\text{EB}}, \%$
I	1: 1.7 : 1.2 (H)	220	1.0	4.5	62.2	99.4	1.2
II		220	1.0	4.5	60.7	99.1	1.2
III		220	1.0	4.5	57.4	98.7	1.1
IV		220	1.0	4.5	53.9	99.1	0.9
V		220	1.0	4.5	70.7	98.7	1.3

$K_{\text{FA}}$ —fenilasetilenin konversiyası;  $S_{\text{ST}}$ ,  $S_{\text{EB}}$  — prosesin stirola, etilbenzola müvafiq selektivliyi

Sintez olunmuş mezoməsaməli karbon nitridlər (cədvəl 7, nümunə V) fenilasetilenin stirola selektiv hidrogenləşməsi reaksiyasında daha yüksək aktivlik göstərirler. Onların üzərində fenilasetilenin hidrogenləşməsi zamanı stirola görə katalizatorun aktivliyinə və selektivliyinə təsir edən amillərin (temperatur, katalizatorun miqdarı, fenilasetilenin və hidrogenin parsial təziqləri) təsiri öyrənilmiş, prosesin optimal şəraiti müəyyən edilmişdir. Müəyyən edilmişdir ki, karbon nitrid və onun əsasında sintez olunan katalizatorlar tərkibində metal daşıyan katalizatorlardan fərqli olaraq stirola qarşı neytraldır və onu hidrogenləşdirmir. Bu səbəbdən polimer karbon nitridlər

yüksək selektivliklə fenilasetilenin parsial hidrogenləşməsini təmin edir (Sxem 2). Polimer karbon nitridin üzərində gedən prosesdə metal tərkibli heterogen sistemlərdən fərqli olaraq koks əmələ gelmir və bu səbəbdən mpg-C<sub>3</sub>N<sub>4</sub> uzun müddət stabil aktivlik və selektivlik nümayiş etdirir.

NH<sub>4</sub>Cl iştirakı ilə yeni üsulla hazırlanmış mpg-C<sub>3</sub>N<sub>4</sub> nümunələrinin (Cədvəl 5, nümunə VI, VII, VIII) katalitik effektliyi fenilasetilenin hidrogenləşməsi prosesində sınaqdan keçirilmişdir. mpg-C<sub>3</sub>N<sub>4</sub> nümunələri fenilasetilenin hidrogenləşməsi prosesində six həcmli karbon nitridlə müqayisədə yüksək aktivlik və stabillik göstərilərlər. Reaksiyanın müəyyən edilmiş optimal şəraitində fenilasetilenin konversiyası 75-81%, stirola görə selektivliyi 95-96 % təşkil edir.

Hesabat dövründə karbamid, melamin və disiandiamiddən sintez olunmuş g-C<sub>3</sub>N<sub>4</sub> nümunələri modifikasiya edilmiş və tərkibində -NH-, NH<sub>2</sub>-, N-C=N və C=C funksional gruplarla yanaşı S, J, Al<sub>2</sub>O<sub>3</sub>, NaOH, və KOH kimi heteroatom və molekullar olan kompozit materiallar hazırlanmışdır. Sintez edilmiş kompozit materialların quruluşu İQ-, Rentgen-spektroskopiya, skanedici elektron mikroskopiya üsulları ilə tədqiq edilmişdir.

Fenilasetilenin (FA) stirola selektiv hidrogenləşməsi reaksiyasında modifikasiya olunmuş karbon nitridlərin katalitik aktivliyinə və selektivliyinə heteroatomların təsiri öyrənilmişdir (Cədvəl 8).

**Cədvəl 8.** Fenilasetilenin modifikasiya olunmuş karbon nitridlər üzərində hidrogenləşməsi\*

Modifikator	FA, mol/s	H <sub>2</sub> , mol/s	S <sub>st</sub> , %	S <sub>Eb</sub> , %	K <sub>FA</sub> , %
S	0.018	0.04	94.1	5.9	67.7
J <sub>2</sub>	0.018	0.04	95.5	4.5	63.4
Al <sub>2</sub> O <sub>3</sub>	0.018	0.04	93.4	6.6	56.2
NaOH	0.018	0.04	90.2	9.8	44.9
KOH	0.018	0.04	92.6	7.4	47.4

\*Temperatur 190 °C; K<sub>FA</sub> – FA-in konversiyası; S<sub>st</sub>, S<sub>Eb</sub> - prosesin stirola, etilbenzola müvafiq selektivliyi

Karbamid əsasında sintez olunmuş polimer karbon nitrid nümunələrininin katalitik effektivliyi fenilasetilenin hidrogenləşməsi prosesində sınaqdan keçirilmişdir. Fenilasetilenin selektiv hidrogenləşməsi qaz fazada 190 °C və normal təzyiqdə aparılmışdır. Aparılan təcrübələrin nəticələrindən göründüyü kimi, karbamid əsasında sintez olunmuş polimer karbon nitrid nümunələri fenilasetileni yüksək selektivliklə stirola hidrogenləşdirməyə imkan verir (Cədvəl 9).

**Cədvəl 9.** Fenilasetilenin karbamid əsasında sintez olunmuş karbon nitridlər üzərində qaz fazada hidrogenləşməsi \*

Katalizator	FA, mol/s	H <sub>2</sub> , mol/s	S <sub>st</sub> , %	S <sub>Eb</sub> , %	K <sub>FA</sub> , %
IX	0.018	0.04	94.8	5.2	33.3
XI	0.018	0.04	96.1	3.9	35.6
XII	0.018	0.04	94.4	5.6	34.4
XIII	0.018	0.04	93.2	6.8	37.9
XIV	0.018	0.04	94.7	5.3	37.4

\* Katalizator – 0.3q; Temperatur -190 °C; Həllədici-n-heksan; K<sub>FA</sub> – FA-in konversiyası; S<sub>st</sub>, S<sub>Eb</sub> - prosesin stirola, etilbenzola müvafiq selektivliyi

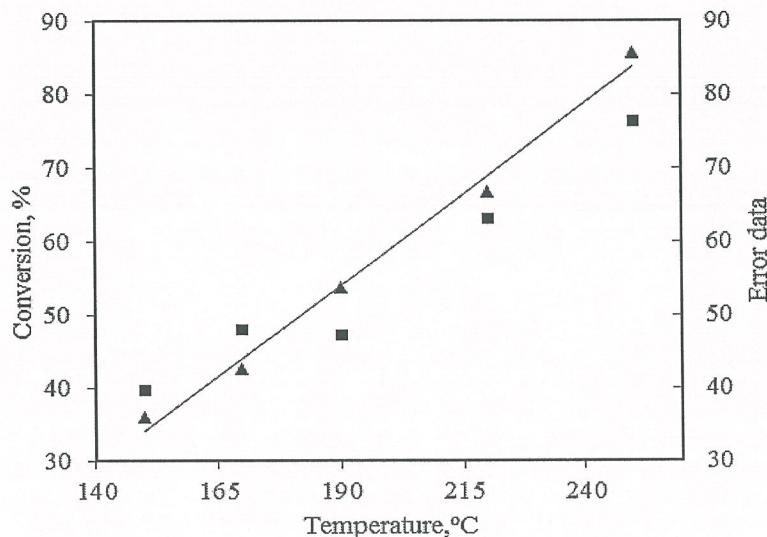
Tərkibində metal olmayan mezo-quruluşlu polimer karbon nitrid üzərində fenilasetilenin selektiv hidrogenləşməsi reaksiyasının kinetik qanuna uyğunluqları araşdırılaraq, fenilasetilenin

konversiyasına, reaksiya məhsullarının çıxımına və stirola görə prosesin selektivliyinə temperaturun, reagentlərin parsial təzyiqlərinin və ilkin reagentlərin qarışığının həcmi sürətinin təsiri tədqiq edilmişdir. Müəyyən edilmişdir ki, karbon nitrid və onun əsasında sintez olunan katalizatorlar tərkibində metal daşıyan katalizatorlardan fərqli olaraq stirola qarşı neytraldır və onu hidrogenləşdirmir. Bu səbəbdən polimer karbon nitridlər yüksək selektivliklə fenilasetilenin parsial hidrogenləşməsini təmin edir (Sxem 2). Yerinə yetirilmiş təcrübələrin və ədəbiyyat materiallarının analizi əsasında fenilasetilenin stirola selektiv hidrogenləşməsi reaksiyasının ehtimal edilən mexanizmi formalaşdırılmış və prosesin kinetik modeli işlənib hazırlanmışdır. Reaksiyanın kinetik parametrlərinin hesablanmış ədədi qiymətləri Cədvəl 10-da verilmişdir.

**Cədvəl 10.** Fenilasetilenin stirola selektiv hidrogenləşməsi reaksiyasının kinetik parametrləri.

Pre-eksponensial faktor		Aktivləşmə enerjisi, kkal/mol	
$\ln k_1^0$	$2.427 \times 10^{-2}$	$E_1$	3.396
$\ln k_2^0$	16.143	$E_2$	3.967
$\ln k_3^0$	28.728	$E_3$	3.044
$\ln k_4^0$	19.850	$E_4$	3.082
$\ln k_5^0$	0.840	$E_5$	6.545

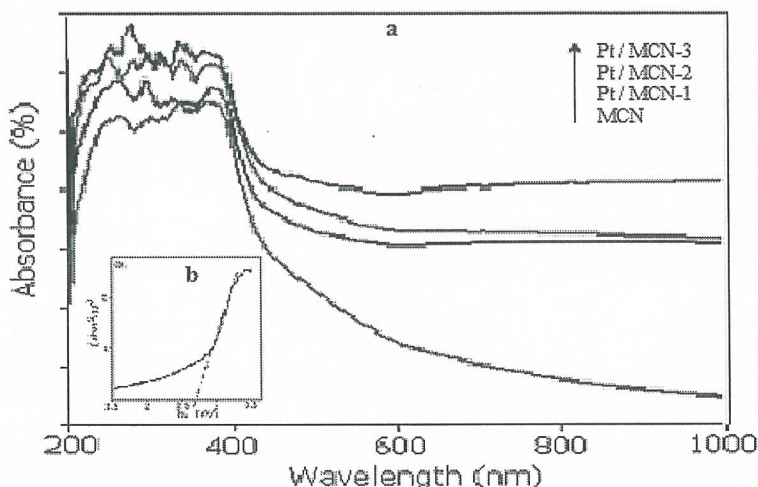
Təcrübələrin və nəzəri hesablanmış nəticələrin nisbi xətası Şəkil 10-da verilmişdir.



**Şəkil 10.** Təcrübələrin (▲) və (■) nəzəri hesablanmış nəticələrin nisbi xətası

Platinin mpg-C<sub>3</sub>N<sub>4</sub>-lə kompozitləri hazırlanmışdır. Bu məqsədlə H<sub>2</sub>PtCl<sub>6</sub> • 6H<sub>2</sub>O ilk dəfə olaraq karbon nitridin metil spirti və su qarışığında suspensiyası mühitində kimyəvi reduksiya edilməklə Pt(0)/mpg-C<sub>3</sub>N<sub>4</sub> tərkibli nano-kompozitlər hazırlanmışdır. SEM analiz nəticələrinə görə bu nümunələrdə Pt nanohissəciklərinin ölçüləri 18-30 nm, mezoməsamələrin həcmi isə 22-35 nm diapazonunda paylanmışdır. Yüksek dispersli Pt nanohissəcikləri mpg-C<sub>3</sub>N<sub>4</sub>-in çoxsaylı azot tərkibli funksional qrupları vasitəsilə stabillaşdırılır və bu səbəbdən uzun müddət aqlomerasiyaya yğramır. mpg-C<sub>3</sub>N<sub>4</sub> və onun əsasında əldə edilmiş nanokompozitlərin elektron quruluşu və optik xüsusiyyətləri spektrin UV-görünən bölgəsində diffuz əks elektron spektroskopiyası ilə tədqiq edilmişdir (Şəkil 11, a,b). mpg-C<sub>3</sub>N<sub>4</sub> üçün udma kənarı 440 nm səviyyəsində sabitlənir. Kompozitlərdə, yüksəlmiş platin miqdarı artıqca, udma kənarının "qırmızı" zolaga dəyişməsi

müşahidə olunur - təxminən 20-40 nm. Spektrin görünən hissəsində - 500 nm-dən sonra kompozitlər tərəfindən udma intensivliyi açıq şəkildə artır (Şəkil 11a). Sintez edilmiş nümunələrin əlaqə boşluğu Taux sahəsində hesablanmışdır (Şəkil 11b). Matris üçün ədəbiyyat məlumatları ilə yaxşı uyğunlaşan 2.8 eV-dir [16]. Kompozitlərdə 2.61-ə qədər azalır, yəni 0,2 eV ilə. Beləliklə, mezoporoz matrisdə platin dopinginin nəticəsi görünən işığın udulmasında artım və kompozitlərdə əlaqə boşluğunun daralmasıdır.



**Şəkil 11.** mpg-C<sub>3</sub>N<sub>4</sub> və nanokompozitlərin elektron diffuz əks etdirmə spektrləri

Pt(0)/mpg-C<sub>3</sub>N<sub>4</sub>-in effektiv kimyəvi və foto-, elektrokatalizdə istifadəsi üçün potensial imkanlar açır. Sintez olunmuş Pt(0)/mpg-C<sub>3</sub>N<sub>4</sub>-in katalitik effektivliyi fenilasetilenin hidrogenləşməsi prosesində sınaqdan keçirilmişdir (Cədvəl 11). Karbon nitridin bu prosesdə daşıyıcı və stabiləşdirici funksiyaları ilə yanaşı özünün də katalitik aktivliyi sayəsində sinergetik effekt baş verir və nəticədə reaksiyanın sürəti kəskin artır. Bu katalizator üzərində fenilasetilenin konversiyası 100% təşkil edir. Reaksiya mühitinə əlavə liqandlar daxil etməklə prosesin stirola görə selektivliyini 87-90 %-ə qədər artırmaq mümkündür.

**Cədvəl 8.** Pt(0)/mpg-C<sub>3</sub>N<sub>4</sub> kompozit katalizator üzərində fenilasetilenin və stirolun hidrogenləşmə prosesində aktivliyi

	Katalizator	Katalizatorun miqdarı, mq	Konversiya, %	Selektivliyi, %	
				stirol	etilbenzol
Stirol	M/CA	50	0		
	M/CA / Pt	10	100		100
	M/CA+ NH <sub>4</sub> Cl / Pt	10	100		100
Fenilasetilen	M/CA	50	80,9	95,2	4,8
	M/CA / Pt	10	100	6,7	93,3
	M/CA / Pt / L*	10	100	87,3	12,7
	M/CA+ NH <sub>4</sub> Cl	10	100	2,9	97,1
	M/CA+ NH <sub>4</sub> Cl / Pt / L*	10	100	90,1	9,9

Pt-0.1mq; T- 150-190 °C; {L}\* - Liqand – Piridin

#### Ədəbiyyat

1. N.A. Efendiyeva, A.A. Azizov, G.A. Nagkhiyev, R.M. Alosmanov and I.A. Bunyad-zadeh, Chem. Probl. 4, 514 (2018). doi:10.32737/2221-8688-2018-4-514-518.

2. U.U. Lurie, *Hand Book of Analytical Chemistry* (Chemistry publishing, Moscow, Russia, 1989), p. 255.
3. C.H. Giles, D. Smith and A. Huitson, *J. Colloid Interface Sci.* 47, 755 (1974). doi:10.1016/0021-9797(74)90252-5.
4. I. Langmuir, *J. Am. Chem. Soc.* 38, 2221 (1916). doi:10.1021/ja02268a002.
5. H.M.F. Freundlich, *J. Phys. Chem. A.* 57, 385 (1906).
6. M. Temkin and V. Pyzhev, *Zh. Fiz. Khim.* 13, 851 (1939). [*Acta Physicochimica U.R.S.S.* 12, 327 (1940)].
7. M.M. Dubinin and L.V. Radushkevich, *Dokladi AN SSSR* 55, 331 (1947). [*Proceedings of the Academy of Sciences of the USSR, Physical Chemistry Section*, 55, 331 (1947)].
8. S. Ahmad, N. Khalid and M. Daud, *Sep. Sci. Technol.* 37, 343 (2002). doi:10.1081/SS-120000792.
9. F. Kallel, F. Chaari, F. Bouaziz, F. Bettaieb, R. Ghorbel, S. E. Chaabouni, *J. Mol. Liq.* 2016, 219, 279.
10. E.-K. Guechi, O. Hamdaoui, *Arab. J. Chem.* 2016, 9, S416.
11. R. Hachani, H. Sabir, N. Sana, K. F. Zohra, N. M. Nesrine, *Water Environ. Res.* 2017, 89, 827.
12. D. Kołodynska, J. Krukowska, P. Thomas, *Chem. Eng. J.* 2017, 307, 353.
13. S. Suresh, C. S. Vimal, M. M. Indra, *J. Environ. Eng.* 2011, 137, 114.
14. E. Daneshvar, A. Vazirzadeh, A. Niazi, M. Kousha, M. Naushad, A. Bhatnagar, *J. Clean. Prod.* 2017, 152, 443.
15. K. S. Bharathi, S. T. Ramesh, *Appl. Water Sci.* 2013, 3, 773.
16. Thomas A., Fischer A., Goettmann F., Antonietti M., Müller J.O., Schlägl R., Carlsson J.M., *J. Mater. Chem.* 2008, 18, 4893.
17. Su D.Sh., Zhang J., Frank B., Thomas A., Wang X., Paraknowitsch J., Schlägl R., *ChemSusChem.*, 2010, 3, 169.
18. Zhu J., Xiao P., Li H., Carabineiro S.A., *ACS Appl. Mater. Interfaces*, 2014, 6, 16449;
19. Cao Sh., Low J., Yu J., M. Jaroniec M., *Adv. Mater.* 2015, 27, 215;
20. Sun Sh., Liang Sh., *Nanoscale*, 2017, 9, 10544.
21. Hasija V., Raizada P., Sudhaik A., Sharma K., KumarA., Singh P., Jonnalagadda S.B., Thakur V.K., *Applied Materials Today*, 2019, 15, 494;
22. Barrio J., Shalom M., *ChemCatChem.* 2018, 10, 5573;
23. H. Lindlar, R. Dubius, *Palladium catalyst for partial reduction of acetylenes. Org. Synth. Coll.* 5(1973) 880-883.

2	Layihənin həyata keçirilməsi üzrə planda nəzərdə tutulmuş işlərin yerinə yetirilmə dərəcəsi (faizlə qiymətləndirməli) <i>Layihənin iş planı üzrə nəzərdə tutulmuş işlər 100% yerinə yetirilmişdir</i>
3	Hesabat dövründə alınmış elmi nəticələr (onların yenilik dərəcəsi, elmi və təcrubi əhəmiyyəti, nəticələrin istifadəsi və tətbiqi mümkün olan sahələr aydın şəkildə göstərilməlidir) <i>Layihədə nəzərdə tutulduğu kimi oksidləşdici xlorfosforlaşma üsulu ilə interkalyasiya olunmuş İQQ və BK əsasında sintez edilmiş yeni HbK ilə kadmium (II) ionları və Akridin sarı boyaq maddəsinin sudan kənarlaşdırılması yoxlanılmışdır. Hibrid nanokompozit ilk dəfə layihə çərçivəsində bizim tərəfimizdən hazırlanlığı üçün aparılan bu tədqiqatlar və əldə olunmuş nəticələr çox mühüm əhəmiyyət kəsb edir. Belə ki, ilk dəfə olaraq üçün sorbent kimi tətbiqi öyrənilmişdir. Aparılan tədqiqatlarda müəyyən edilmişdir ki, sorbsiyaın optimal qiyməti zəif qələvi mühitdə (<math>pH=9</math>) <math>0,536 \text{ mmol/l}</math> qatılıqlı Cd (II) ionları məhlullarından <math>120 \text{ dəq}</math> müddətində <math>55^\circ\text{C}</math> temperaturda baş verir. Kompozitin sorbsiya tutumu <math>0,18 \text{ mmol/g-yə}</math> (<math>20,1 \text{ mg/g}</math>) bərabərdir. Sorbsiya, metal ionlarının monotəbəqəsinin əmələ gəlməsilə kimyəvi reaksiya hesabına həyata keçir. Prosesin kinetikasının tədqiqi ilə müəyyən olunmuşdur ki, sorbsiya kifayət qədər mürəkkəb mexanizmlə baş verir ki, bu da kompozitin quruluşu ilə əlaqədardır.</i>

Alınmış kompozitin akridin sarı boyaq maddəsinə görə maksimum sorbsiya qabiliyyəti pH-in 7 qiymətində müşahidə olunur və 23.7 mq/q-a bərabərdir. Temperaturun artması ilə kompozitin sorbsiya qabiliyyəti yüksəlir, kütlənin artması ilə isə sorbsiya tutumu 20.8-dən 6.7-ə qədər azalır. Sorbsiya izotermərinin tədqiq ilə müəyyən edilmişdir ki, proses Lenqmür modelinə daha uyğundur və uyğun parametr 22.9 mq/q-a bərabərdir. Bununla yanaçı nano-quruluşlu karbon nitridin metal iştirakı olmadan hidrogen molekulunu aktivləşdirmək xassəsi müəyyən edilmiş və onun üzərində fenilasetilenin stirola selektiv hidrogenləşməsi üsulu işlənib hazırlanmışdır.

- 4** Layihə üzrə elmi nəşrlər (elmi jurnallarda məqalələr, monoqrafiyalar, icmallar, konfrans materiallarında məqalələr, tezislər) (dərc olunmuş, çapa qəbul olunmuş və çapa göndərilmişləri ayrılıqda qeyd etməklə, uyğun məlumat - jurnalın adı, nömrəsi, cildi, səhifələri, nəşriyyat, indeksi, Impact Factor, həmmüəlliflər və s. bunun kimi məlumatlar - ciddi şəkildə dəqiq olaraq göstərilməlidir) (surətlərini kağız üzərində və CD şəklində əlavə etməli!)  
Layihə üzrə yerinə yetirilmiş işlər əsasında bir məqalə çap olunmuş, bir məqalə çapdadır.  
1. Aliyeva, S. Adsorption of acridine yellow G from aqueous solutions using functionalized graphene nanoplatelets/modified polybutadiene hybrid composite. *J. Chin. Chem. Soc.* 2020; 67: 2071– 2081. <https://doi.org/10.1002/jccs.202000162>. Impact factor 1.21  
2. В.М. Ахмедов, Н. Е. Мельникова, А. З. Бабаева, Г. Нуруллаев, Вс. Ахмедов, Д.Б.Тагиев. Нанокомпозиты платины с мезопористым нитридом углерода: синтез и оценка гидрогенизационной активности. Журнал Известия Академии наук. Серия химическая, 2021, № 4, 712-719. Impact factor 1.062  
V. M. Akhmedov, N. E. Melnikova, A. Z. Babayeva, G. G. Nurullayev, Vs. M. Akhmedov, and D. B. Tagiyev "Platinum nanocomposites with mesoporous carbon nitride: synthesis and evaluation of the hydrogenation activity" Russian Chemical Bulletin, International Edition, Vol. 70, No. 4, pp. 1-8, April, 2021. Impact factor 1.062
- 3** Ixtira ve patentlər, səmərələşdirici təkliflər  
*Sintez edilmiş yeni materialların patentləşdirilməsi nəzərdə tutulur*
- 6** Layihə üzrə ezamiyyətlər (ezamiyyə baş tutmuş təşkilatın adı, şəhər və ölkə, ezamiyyə tarixləri, həmcinin ezamiyyə vaxtı baş tutmuş müzakirələr, görüşlər, seminarlarda çıxışlar və s. dəqiq göstərilməlidir)  
Hesabat dövründə layihədə ezamiyyətlər nəzərdə tutulmamışdır
- 7** Layihə üzrə elmi ekspedisiyalarda iştirak (əgər varsa)  
Hesabat dövründə layihə iştirakçıları elmi ekspedisiyalarda iştirak etməmişlər.
- 8** Layihə üzrə digər tədbirlərdə iştirak  
Hesabat dövründə layihə iştirakçıları digər tədbirlərdə iştirak etməmişlər.
- 9** Layihə mövzusu üzrə elmi məruzələr (seminar, dəyirmi masa, konfrans, qurultay, simpozium və s. çıxışlar) (məlumat tam şəkildə göstərilməlidir: a) məruzənin növü: plenar, dəvətli, şifahi və ya divar məruzəsi; b) tədbirin kateqoriyası: ölkədaxili, regional, beynəlxalq)  
Layihə mövzusu üzrə bir məruzə Beynəlxalq konfransda şifahi şəkildə təqdim olunacaqdır.  
S. B. Aliyeva. Investigation of flame-retardant properties of functionalized graphene nanoplatelets/modified polybutadiene composite material. 17th International conference of young scientists on energy and natural sciences issues. May 24-28, CYSENI. 2021 <http://cyseni.com/>
- 10** Layihə üzrə əldə olunmuş cihaz, avadanlıq və qurğular, mal və materiallar, komplektləşdirmə məmulatları  
Layihə üzrə cihaz, avadanlıq və qurğular, mal və materiallar əldə edilməmişdir.
- 11** Yerli həmkarlarla əlaqələr  
Tədqiqatlar AMEA-nın Kataliz və qeyri-üzvi kimya institutunun əməkdaşları(Layihə iştiracıları) ilə birlikdə aparılmışdır.

12	Xarici həmkarlarla əlaqələr
13	Layihə mövzusu üzrə kadr hazırlığı (əgər varsa)
14	Sərgilərdə iştirak (əgər baş tutubsa)
15	Təcrübəartırmada iştirak və təcrübə mübadiləsi (əgər baş tutubsa)
16	Layihə mövzusu ilə bağlı elmi-kütləvi nəşrlər, kütləvi informasiya vasitələrində çıxışlar, yeni yaradılmış internet səhifələri və s. (məlumatı tam şəkildə göstərilməlidir)

SİFARIŞÇI:

Elmin İnkişafı Fondu

Aparıcı məsləhətçi

Hüseynzadə Leyla İlqar qızı

(imza)

"09" aprel

2021-ci il

İCRAÇI:

Layihə rəhbəri

Əzizov Abdulsəyid Əbdülhəmid oğlu

(imza)

"09" aprel

2021-ci il



## AZƏRBAYCAN RESPUBLİKASININ PREZİDENTİ YANINDA ELMIN İNKİŞAFI FONDU

MÜQAVİLƏYƏ ƏLAVƏ

Azərbaycan Respublikasının Prezidenti yanında Elmin İnkışafı Fonduun  
“Elm-Təhsil İnteqrasiyası” məqsədli qrant müsabiqəsinin  
(EIF/MQM/Elm-Təhsil-1-2016-1(26)) qalibi olmuş  
layihənin yerinə yetirilməsi üzrə

### ALINMIŞ NƏTİCƏLƏRİN ƏMƏLİ (TƏCRÜBİ) HƏYATA KEÇİRİLMƏSİ VƏ LAYİHƏNİN NƏTİCƏLƏRİNDƏN GƏLƏCƏK TƏDQİQATLARDА İSTİFADƏ PERSPEKTİVLƏRİ HAQQINDA MƏLUMAT VƏRƏQİ (Qaydalar üzrə Əlavə 16)

Layihənin adı: İnterkalyasiya olunmuş laylı quruluşlu birləşmələr və polimerlər əsasında hazırlanmış yeni hibrid nanokompozitlərin sorbsiya və katalitik xassələri

Layihə rəhbərinin soyadı, adı və atasının adı: Əzizov Abdulsəyid Əbdülhəmid oğlu

Qrantın məbləği: 29 500 manat

Layihənin nömrəsi: EIF/MQM/Elm-Təhsil-1-2016-1(26)-71/02/4-M-47

Müqavilənin imzalanma tarixi: 28 avqust 2020-ci il

Qrant layihəsinin yerinə yetirilmə müddəti: 6 ay

Layihənin icra müddəti (başlama və bitmə tarixi): 01 oktyabr 2020-ci il – 01 aprel 2021-ci il

#### Layihənin nəticələrinin əməli (təcrübi) həyata keçirilməsi

1

Layihənin əsas əməli (təcrübi) nəticələri, bu nəticələrin məlum analoqlar ilə müqayisəli xarakteristikası

Layihənin əsas təcrübi nəticələri interkalyasiya olunmuş laylı quruluşlu birləşmələr və polimerlər əsasında hibrid nanokompozitlərin hazırlanması, onların boyaq maddəsi (akridin sarı) və ağır metal ionlarına ( $Cd^{2+}$ ) görə sorbsiya xassələrinin tədqiqi, eləcə də qrafit tipli polimer karbon nitrid ( $g-C_3N_4$ ) əsasında tərkibində metal olmayan katalizatorların müxtəlif üsullarla sintezi, onların metal və qeyri-metallarla modifikasiyası və katalitik xassələrinin öyrənilməsindən ibarətdir.

Müəyyən edilmişdir ki, tərəfimizdən sintez edilən hibrid nanokompozitin Akridin sarı boyaq maddəsi və  $Cd^{2+}$  ionlarına görə sorbsiya xassələri məlum adsorbentlərdən geri qalmır. Məsələn, ədəbiyyatda qələviləşdirilmiş Luffa lifi ilə akridin sarı boyaq maddəsinin sorbsiyasına aid tədqiqat işləri aparılmışdır [Wang, Y., Liu, J., Li, X. Adsorption Performance of Mixed Dyes on Alkalization Loofah Fibers // IOP Conference Series: Earth and Environmental Science -2018, 121, -p.22023.]. Tədqiqat işinin nəticələrinə əsasən qələviləşdirilmiş Luffa lifinin Lenqmür izoterm modelinə əsaəsn sorbsiya tutumu 303 K temperaturda 20.48 mg/g-a

bərabərdir. Tərifimizdən sintez edilmiş hibrid nanokompozitin Lenqmür modelinə əsasən təyin edilmiş sorbsiya tutumu isə 298 K temperaturda 35.21 mq/q-a bərabərdir.

Hibrid nanokompozitlə Cd(II) ionlarının sorbsiyasının Lenqmür izoterm modelinə əsasən hesablanmış sorbsiya tutumu 0.1796 mmol/q-a (20.1 mq/q) təşkil edir. Bu nəticə ədəbiyyatda məlum olan bəzi sorbentlərin sorbsiya tutumundan çoxdur. Məsələn, poli 4-vinil piridin və poli (vinil piridin-poli etilen qlikol metakrilat-etilen qlikol dimetakrilat) kimi sorbentlərin Lenqmür izoterm modelinə əsasən hesablanmış sorbsiya tutumu uyğun olaraq 3.3 və 16.5 mq/q-a bərabərdir [A. Duran, M. Soylak and A. Tuncel. Poly(vinyl pyridine-poly ethylene glycol methacrylate-ethylene glycol dimethacrylate) beads for heavy metal removal // J. Hazard. Mater. 155, 114 (2008)].

Sorbsiya xassələrinin öyrənilməsindən alınan əsas nəticələrdən biri də tərifimizdən sintez edilən hibrid nanokompozitin sorbent kimi mürəkkəb tərkibli məhlullardan (yəni tərkibində həm metal ionu, həm də boyaq maddəsi olan) sorbsiya üçün tətbiqinin mümkün olmasıdır. Aparılan tədqiqatlar nəticəsində melamin əsasında katalitik xassələrə malik g-C<sub>3</sub>N<sub>4</sub>-ün sintez şəraiti işlənilib hazırlanmışdır. Katalitik effektliyi artırmaq məqsədilə müxtəlif supra-molekulyar komplekslər əsasında yüksək səthə malik mezo-məsaməli karbon nitridlərin (mpg-C<sub>3</sub>N<sub>4</sub>) sintez olunmuşdur. Katalizatorların effektliyi fenilasetilenin stirola selektiv hidrogenləşməsi prosesində tədqiq edilmişdir. Polimer karbon nitridin üzərində gedən prosesdə metal tərkibli heterogen sistemlərdən fərqli olaraq koks əmələ gəlmir və bu səbəbdən g-C<sub>3</sub>N<sub>4</sub> uzun müddət stabil aktivlik və selektivlik nümayiş etdirir.

Layihənin nəticələrinin əməli (təcrübi) həyata keçirilməsi haqqında məlumat (istehsalatda tətbiq (tətbiqin aktını əlavə etməli); tədris və təhsildə (nəşr olunmuş elmi əsərlər və s. – təhsil sisteminə tətbiqin aktını əlavə etməli); bağlanmış xarici müqavilələr və ya beynəlxalq layihələr (kimlə bağlanıb, müqavilənin və ya layihənin nömrəsi, adı, tarixi və dəyəri); dövlət proqramlarında (dövlət orqanının adı, qərarın nömrəsi və tarixi); ixtira üçün alınmış patentlərdə (patentin nömrəsi, verilmə tarixi, ixtiranın adı); və digərlərində)

## 1. Layihənin nəticələrindən gələcək tədqiqatlarda istifadə perspektivləri

Nəticələrin istifadəsi perspektivləri (fundamental, tətbiqi və axtarış-innovasiya yönü elmi-tədqiqat layihə və proqramlarında; dövlət proqramlarında; dövlət qurumlarının sahə tədqiqat proqramlarında; ixtira və patent üçün verilmiş ərizələrdə; beynəlxalq layihələrdə; və digərlərində)

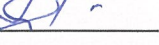
Layihə çərçivəsində əldə edilmiş nəticələr tətbiqi və axtarış-innovasiya yönü beynəlxalq elmi-tədqiqat layihələri üçün istifadə oluna bilər. Konkret olaraq, yeni tip hibrid nanokompozitin hazırlanması üçün təklif olunan yanaşma “ağılı” kompozit və materialların hazırlanması üçün perspektivlidir. Bu kompozitlərin tullantı sularının müxtəlif növ çirkəndiricilərdən təmizlənməsi üçün tətbiqi də öyrənilə bilər.

Polimer karbon nitridlərin sintezi və modifikasiyası üçün təklif olunan yanaşma uyğun enerji səviyyələrinə malik yarımkərıcı materialların hazırlanmasında tətbiq edilə bilər. Nəticəsə g-C<sub>3</sub>N<sub>4</sub>-ün optiki və elektrik xassələri yaxşılaşar ki, bu da onun daha geniş migyasda foto-, elektro- və kimyəvi katalizdə, elektronikada, optikada və bir sıra başqa praktiki əhəmiyyətli sahələrdə istifadəsinə imkan yaradır. Unikal katalitik aktivliyi ilə yanaşı karbon nitridlər həm də

effektiv daşıyıcı kimi də istifadə oluna bilər.

SİFARIŞÇI:  
Elmin İnkişafı Fondu

Aparıcı məsləhətçi  
Hüseynzadə Leyla İlqar qızı  
  
(imza)  
"09" aprel 2021-ci il

İCRAÇI:  
Layihə rəhbəri  
Əzizov Abdulsəyid Əbdülhəmid oğlu  
  
(imza)  
"09" aprel 2021-ci il



## AZƏRBAYCAN RESPUBLİKASININ PREZİDENTİ YANINDA ELMİN İNKİŞAFI FONDU

MÜQAVİLƏYƏ ƏLAVƏ

Azərbaycan Respublikasının Prezidenti yanında Elmin İnkışafı Fonduun  
“Elm-Təhsil İnteqrasiyası” məqsədli qrant müsabiqəsinin  
(EIF/MQM/Elm-Təhsil-1-2016-1(26)) qalibi olmuş  
layihənin yerinə yetirilməsi üzrə

### ALINMIŞ ELMİ MƏHSUL HAQQINDA MƏLUMAT (Qaydalar üzrə Əlavə 17)

Layihənin adı: İnterkalyasiya olunmuş laylı quruluşlu birləşmələr və polimerlər əsasında hazırlanmış yeni hibrid nanokompozitlərin sorbsiya və katalitik xassələri

Layihə rəhbərinin soyadı, adı və atasının adı: Əzzizov Abdulsəyid Əbdülhəmid oğlu

Qrantın məbləği: 29 500 manat

Layihənin nömrəsi: EIF/MQM/Elm-Təhsil-1-2016-1(26)-71/02/4-M-47

Müqavilənin imzalanma tarixi: 28 avqust 2020-ci il

Qrant layihəsinin yerinə yetirilmə müddəti: 6 ay

Layihənin icra müddəti (başlama və bitmə tarixi): 01 oktyabr 2020-ci il – 01 aprel 2021-ci il

#### 1. Elmi əsərlər (sayı)

No	Tamliq dərəcəsi Elmi məhsulun növü	Dərc olunmuş	Çapa qəbul olunmuş və ya çapda olan	Çapa göndərilmiş
1.	Monoqrafiyalar  həmçinin, xaricdə çap olunmuş			

2.	Məqalələr həmçinin xarici nəşrlərdə	Aliyeva, S. Adsorption of acridine yellow G from aqueous solutions using functionalized graphene nanoplatelets/modified polybutadiene hybrid composite. J. Chin. Chem. Soc. 2020; 67: 2071– 2081. <a href="https://doi.org/10.1002/jccs.202000162">https://doi.org/10.1002/jccs.202000162</a>		
3.	Konfrans materiallarında məqalələr O cümlədən, beynəlxalq konfras materiallarında	V. M. Akhmedov, N. E. Melnikova, A. Z. Babayeva, G. G. Nurullayev, Vs. M. Akhmedov, and D. B. Tagiyev "Platinum nanocomposites with mesoporous carbon nitride: synthesis and evaluation of the hydrogenation activity" Russian Chemical Bulletin, International Edition, Vol. 70, No. 4, pp. 1-8, April, 2021.	Çapda	
4.	Məruzələrin tezisləri  həmçinin, beynəlxalq tədbirlərin toplusunda	S. B. Aliyeva. Investigation of flame-retardant properties of functionalized graphene nanoplatelets/modified polybutadiene composite material. 17th International conference of young scientists on energy and natural sciences issues. May 24-28, CYSENI. 2021	Çapa qəbul olunmuş	
5.	Digər (icmal, atlas, kataloq və s.)			

## 2. İxtira və patentlər (sayı)

No	Elmi məhsulun növü	Alınmış	Verilmiş	Ərizəsi verilmiş
1.	Patent, patent almaq üçün ərizə			
2.	İxtira			
3.	Səmərələşdirici təklif			

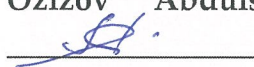
## 3. Elmi tədbirlərdə məruzələr (sayı)

No	Tədbirin adı (seminar, dəyirmi masa, konfrans, qurultay, simpozium və s.)	Tədbirin kateqoriyası (ölkədaxili, regional,	Məruzənin növü (plenar, dəvətli, şifahi, divar)	Sayı

1.	beynəlxalq)
2.	
3.	

SİFARIŞÇI:  
Elmin İnkışafı Fondu

Aparıcı məsləhətçi  
Hüseynzadə Leyla İlqar qızı  
  
(imza)  
"09" aprel 2021-ci il

İCRAÇI:  
Layihə rəhbəri  
Əzizov Abdulsəyid Əbdülhəmid oğlu  
  
(imza)  
"09" aprel 2021-ci il